

Tell

RECS

Tc Cl

Stevenson D.P.

1940

J. Ch. Phys. 8, N10, cmp 898

Зависимка об температуре
загадор. λ^* атомных
шариков в зависишии
(исчезновение расстояния
в cm^{-1})

$$r_e = 2.40 \text{ \AA}$$

$$w_e = 287 \text{ cm}^{-1}$$

авт. 514.

TeCl	(ras)	XII-137 Oldershaw G.J. Robinson R.	1980
MoBr		Cheee. Convexus, N9, 540.	
2L. Chees	7/16	(See. SeBr) II	

1970

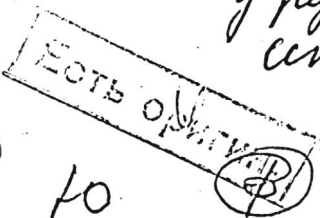
M. N. (SeBr, TeCl, TeBr, TeI) 12 XII 137

Oldershaw G. A., Robinson K.,

Chem. Communns, 1970, n 9, 540 (see note)

New electronic spectra of gaseous
SeBr, TeCl, TeBr, TeI.

Y Hej.
CMB



Rec Xmas, 1970, 19592

TeCl

89-XII-330

1971

-) 17 Б146. УФ-спектры поглощения хлорида и бромида теллура. Oldershaw G. A., Robinson K. Ultraviolet absorption spectra of tellurium monochloride and tellurium monobromide. «J. Mol. Spectrosc.», 1971, 37, № 2, 314—320 (англ.)

Исследованы УФ-спектры поглощения TeCl (I) и TeBr (II), полученных при дуговом разряде через смесь азота с TeCl_2 и TeBr_2 соотв. Полосы в спектрах I и II можно разделить на две системы, различающиеся на 1674 см^{-1} для I и 1719 см^{-1} для II. Предполагается, что обнаруженное различие обусловлено переходами из подуровней $^2\text{P}_{1/2}$ и $^2\text{P}_{3/2}$ основного состояния в общее верхнее состояние (B), в к-ром спин-орбитальное расщепление значительно меньше. Получены ф-лы для расчета молек. констант основного и верхнего (B) состояния.

А.Б. Мостовой

X 1971.12

(Сост. Танчи
Te Br) III

X

TeCl, TeCl₂

891-XII-330

1971

Hull.

photoeng

(69760) Ultraviolet absorption spectra of tellurium monochloride and tellurium monobromide. Oldershaw, Geoffrey A.; Robinson, Kelvin (Dep. Chem., Univ. Hull, Hull, Engl.). *J. Mol. Spectrosc.* 1971, 37(2), 314-20 (Eng). Band systems of TeCl and TeBr have been photographed in absorption following flash photolysis of TeCl₂ and TeBr₂. Vibrational anal. of the spectra are discussed and equations are derived for band head frequencies. The transitions arise from the $^2\Pi_{3/2}$ and $^2\Pi_{1/2}$ levels of the ground states of TeCl and TeBr.

RCKP

(+1)



C.A. 1971.44.74

paper Do (TEX, InX , GaX , AgX , CuX)¹⁹
29i $X - \text{various}$ (?)) ¹⁹⁷⁵

Thakur K.P., XII-1536

Acta phys. pol, 1975, A48, v3, 419-421
Sauri

Energetics of heavy metal halide
molecules.

Rugby 1976, 30/112

(

10

(P) cu.
spurz

Tell

LM. 35343 | 1991

Fink E.H., Setzer R.D.
et al.,

$X_2^2\pi_{1/2} \rightarrow X_1^2\pi_{3/2}$ Chem. Phys. Lett. 1991,
177, n3, 265-268.

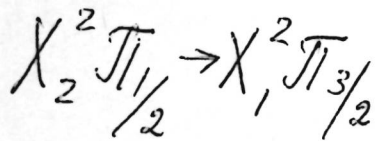
The $X_2^2\pi_{1/2} \rightarrow X_1^2\pi_{3/2}$ electronic

transitions of tellurium mono-
halides in the near infrared.

TeCl

1991

Fink E.H., Setzer K.L.
et al.



Chem. Phys. Lett.

1991, 177(3), 365-

368.

(crys. TeF₃ II)

Pell

10.38118

1995

5Б1211. Исследование с высоким разрешением тонкой структуры переходов $X_2^2\Pi_{1/2} \rightarrow X_1^2\Pi_{3/2}$ ^{130}TeF и $^{130}\text{Te}^{35}\text{Cl}$. High-resolution study of the $X_2^2\Pi_{1/2} \rightarrow X_1^2\Pi_{3/2}$ fine-structure transitions of ^{130}TeF and $^{130}\text{Te}^{35}\text{Cl}$ / Ziebarth K., Setzer K. D., Fink E. H. // J. Mol. Spectrosc. — 1995. — 173, № 2. — С. 488—498
— Англ.

Методом фурье-спектроскопии исследована тонкая структура спектров испускания молекул ^{130}TeF и $^{130}\text{Te}^{35}\text{Cl}$ в ближней ИК-области. Спектры возбуждались в результате р-ции TeH/TeH_2 и F_2 или Cl_2 и связаны с переходами между спин-орбитальными компонентами основного электронного состояния, $X_2^2\Pi_{1/2} \rightarrow X_1^2\Pi_{3/2}$ (секвенции с $\Delta v=0$, $v=0—3$ для TeF и $v=0, 1$ для TeCl). Значения (в см^{-1}) рассчитанных молекулярных постоянных: ^{130}TeF , для со-

м.н.

Х. 1997, № 5

стояния $X_2^2\Pi_{1/2}$ $T_e=4183,13$, $\omega_e=623,94$, $\omega_{e\chi e}=2,938$,
 $B_0=0,280367$, $D_0=2,295 \cdot 10^{-7}$, $p_0=0,046982$, $p_D=-1,1 \cdot 10^{-8}$, $r_0=1,90465 \text{ \AA}$; для состояния $X_1^2\Pi_{3/2}$ $B_0=0,27875$,
 $D_0=2,31 \cdot 10^{-7}$, $r_0=1,91017 \text{ \AA}$; $^{130}\text{Te}^{35}\text{Cl}$, для состоя-
ния $X_2^2\Pi_{1/2}$ $T_0=4022,31550$, $\Delta G_{1/2}=391,3$, $B_0=0,114348$,
 $D_0=4,04 \cdot 10^{-8}$, $p_0=0,01124$, $p_D=-2,6 \cdot 10^{-8}$, $p_0=2,31316$
 \AA ; для состояния $X_1^2\Pi_{3/2}$ $B_0=0,1136203$, $D_0=4,04 \cdot 10^{-8}$,
 $r_0=2,32056 \text{ \AA}$.

Б. М. Ковба

